

Численное решение задачи (2.3), (2.4), (3.11) получается с помощью следующего простого алгоритма. Для выбранного значения параметра  $\beta$  решается двухточечная краевая задача (2.3), (2.4). Затем проверяется условие (3.11). Путем варьирования  $\beta$  достигается удовлетворение условия (3.11). В итоге определяются  $\tau$ ,  $\beta$  и  $A$ . На основании численных расчетов на рис. 4 построены графики  $\beta(\alpha)$  и  $p(\alpha)$  для изотропного (штриховая линия) и анизотропного (сплошная) материалов для параметров анизотропии  $G/N = 6$ ,  $H/N = 2,5$  при  $m = 0,5$ . В случае изотропного материала  $G/N = H/N = 2$ . Графики показывают существенное влияние анизотропии на распределение пластической зоны и удельное давление конуса на среду.

Проведено также численное изучение границ изменения  $\alpha$ . При  $\alpha \rightarrow \pi/2$   $\beta \geqslant \pi/2$ , что недопустимо согласно постановке задачи, так как  $R_2 \rightarrow \infty$ . Это зависит также от параметров анизотропии и значения  $m$ . Для всех рассмотренных в численных исследованиях возможных значений параметров анизотропии при  $\alpha < 80^\circ$  такое явление не наблюдалось, т. е. полученное решение для этих  $\alpha$  вполне применимо.

Автор благодарит М. А. Задояна за внимание к работе.

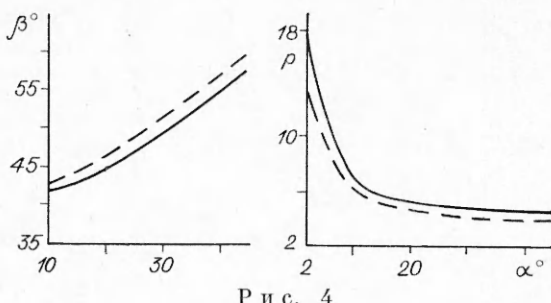


Рис. 4

#### ЛИТЕРАТУРА

- Хилл Р. Математическая теория пластичности.— М.: Гостехиздат, 1956.
- Задоян М. А. Вдавливание жесткого конуса в идеальное жесткопластическое полупространство // Нелинейные модели и задачи механики деформируемого твердого тела.— М.: Наука, 1984.
- Новиков С. С. Внедрение жесткого клина в анизотропное полупространство // Исследования в области пластичности и обработки металлов давлением.— Тула: ТПИ, 1980.
- Дудукаленко В. В. О вдавливании жесткого штампа в анизотропную пластическую среду // ПММ.— 1960.— Т. 24, № 5.
- Багдоев А. Г., Ванян А. А. Исследование проникания тонкого твердого тела в трансверсально-изотропную среду // Изв. АН АрмССР. Механика.— 1987.— № 4.
- Акопян А. Г. Внедрение жесткого цилиндрического тела в пластически анизотропную трубу // Изв. АН АрмССР. Механика.— 1986.— № 5.
- Качанов Л. М. Основы теории пластичности.— М.: Наука, 1969.
- Ильев Д. Д., Ершов Л. В. Метод возмущений в теории упругопластического тела.— М.: Наука, 1978.

г. Ереван

Поступила 29/IX 1989 г.,  
в окончательном варианте — 25/IV 1990 г.

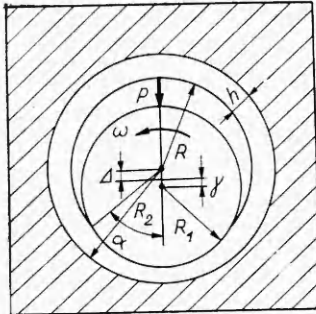
УДК 539.375

Е. В. КОВАЛЕНКО

#### РАСЧЕТ ИЗНОСА ПОДШИПНИКА СКОЛЬЖЕНИЯ С ТОНКИМ ПОРИСТО-УПРУГИМ ВКЛАДЫШЕМ

В рамках модели Бию пористо-упругой среды рассматривается контактная задача с износом для тонкого кольца, поры которого заполнены вязкой сжимаемой жидкостью. По внешнему контуру кольцо соединено с недеформируемой обоймой, а по части внутренней поверхности контактирует с валом, вращающимся вокруг своей оси. Предполагается, что износ вала пренебрежимо мал по сравнению с износом втулки, инерционными эффектами в кольце можно пренебречь, сила трения связана с контактным давлением законом Кулона. Получены явные асимптотические разложения для основных характеристик контактного взаимодействия (осадки точек кольца под валом, угол контакта, контактного давления), справедливые при малом и большом временах. Выявлены диапазоны их стыковки.

1. Рассмотрим плоскую (случай плоской деформации) контактную задачу об изнашивании тонкого кольца (втулки подшипника скольжения) внутреннего радиуса  $R$  и наружного  $R_2$ . По внешнему контуру кольцо соединено с недеформируемой обоймой, а по части внутренней поверхности контактирует с валом радиуса  $R_1 = R - h$  ( $hR_2^{-1} \ll 1$ ,  $hR_2^{-1} \ll 1$ ), вращающимся вокруг своей оси с постоянной угловой скоростью  $\omega$  и передающим на втулку усилие  $F(t) = PH(t)$ , где  $H(t)$  — функция Хеви-



цили Дарси с коэффициентом проницаемости  $k$ :

$$(1.1) \quad \mu \left( \nabla^2 u - \frac{u}{r^2} \right) + (\mu + \lambda_c) \frac{\partial e}{\partial r} - \frac{2\mu}{r^2} \frac{\partial v}{\partial \varphi} - \alpha M \frac{\partial \zeta}{\partial r} = 0,$$

$$\mu \left( \nabla^2 v - \frac{v}{r^2} \right) + (\mu + \lambda_c) \frac{1}{r} \frac{\partial e}{\partial \varphi} + \frac{2\mu}{r^2} \frac{\partial u}{\partial \varphi} - \frac{\alpha M}{r} \frac{\partial \zeta}{\partial \varphi} = 0;$$

$$(1.2) \quad \frac{\partial \zeta}{\partial t} = \frac{k M_c}{\eta} \nabla^2 \zeta \quad \left( M_c = \frac{M(2\mu + \lambda)}{2\mu + \lambda_c} \right);$$

$$(1.3) \quad p = -\alpha M e + M \zeta, \quad e = \frac{\partial u}{\partial r} + \frac{u}{r} + \frac{1}{r} \frac{\partial v}{\partial \varphi},$$

$$\zeta = - \left( \frac{\partial U}{\partial r} + \frac{U}{r} + \frac{1}{r} \frac{\partial V}{\partial \varphi} \right);$$

$$(1.4) \quad \tau_{ij} = 2ue_{ij} + \delta_{ij}(\lambda_c e - \alpha M \zeta), \quad \lambda_c = \lambda + \alpha^2 M.$$

Здесь  $\mathbf{u} = \{u, v\}$  — вектор перемещений точек упругого скелета;  $\mathbf{w} = f(\mathbf{U} - \mathbf{u}) = \{U, V\}$  ( $\mathbf{U}$  — вектор перемещений точек жидкости, а  $f$  — пористость);  $p$  — гидростатическое давление жидкости в порах;  $\tau_{ij}$  — тензор напряжений в пористой среде;  $e_{ij}$  — тензор деформаций в упругом скелете (индексы  $i$  и  $j$  пробегают значения 1, 2, при этом 1 соответствует  $r$ , а 2 —  $\varphi$ );  $\mu$ ,  $\lambda$ ,  $\alpha$  и  $M$  — упругие коэффициенты пористой среды, физический смысл которых и методы нахождения изложены в [3].

Условие контакта между валом и втулкой вследствие изнашивания последней запишем в виде [1]

$$(1.5) \quad -u(R, \varphi, t) - u_*(R, \varphi, t) = [\Delta + \gamma(t)] \cos \varphi - \Delta \quad (|\varphi| \leq \alpha(t)),$$

где  $u_*(R, \varphi, t)$  — линейный износ втулки за время  $t$  по направлению радиуса-вектора с угловой координатой  $\varphi$ ;  $\gamma(t)$  — поступательное перемещение шипа под действием силы  $F(t)$ . Далее будем считать  $0 \leq t < T < \infty$ , причем  $T$  такова, что  $\gamma(t)$  имеет порядок перемещений в линейной теории упругости.

Для определения упругого перемещения точек кольца  $u(r, \varphi, t)$  примем, что его внутренняя поверхность проницаема, а внешняя абсолютно непроницаема. Рассмотрим вспомогательную задачу о действии нормальной сосредоточенной силы  $P H(t)$ , приложенной в точке  $\varphi = 0$ ,  $r = R$  втулки. Математически она сводится к интегрированию уравнений (1.1)–(1.4) с граничными условиями ( $\delta(\varphi)$  — дельта-функция Дирака)

$$(1.6) \quad r = R: \quad p = 0, \quad \tau_{r\varphi} = 0 \quad (|\varphi| \leq \pi), \quad \tau_{rr} = -P \delta(\varphi) H(t),$$

$$r = R_2: \quad u = v = \partial p / \partial r = 0$$

и начальным условием

$$(1.7) \quad \alpha e = \zeta - M^{-1} p \quad (t = 0).$$

Для решения задачи (1.1)–(1.4), (1.6), (1.7) введем две неизвестные функции  $E(r, \varphi, t)$  и  $S(r, \varphi, t)$ , связанные с компонентами вектора перемещений в упругом скелете  $\{u, v\}$  и давлением  $p$  выражениями

$$(1.8) \quad u = \frac{\partial E}{\partial r} + \sin \varphi \left( r \frac{\partial S}{\partial r} - S \right),$$

$$v = \frac{1}{r} \frac{\partial E}{\partial \varphi} + \sin \varphi \frac{\partial S}{\partial \varphi} - S \cos \varphi,$$

$$p \alpha = (2\mu + \lambda) \nabla^2 E + 2\mu \left( \sin \varphi \frac{\partial S}{\partial r} + \frac{\cos \varphi}{r} \frac{\partial S}{\partial \varphi} \right), \quad e = \nabla^2 E.$$

Подставляя (1.8) в (1.1)–(1.3), приходим к выводу, что исходные уравнения превра-

тятся в тождества, если функции  $S$  и  $E$  удовлетворяют уравнениям

$$(1.9) \quad \nabla^2 S = 0, \quad \frac{\partial}{\partial t} \nabla^2 E = c \nabla^2 E \quad \left( c = \frac{kM_s}{\eta} \right).$$

Внося (1.8) в (1.4), получим

$$(1.10) \quad \begin{aligned} \tau_{rr} &= 2\mu \left[ -\frac{1}{r} \left( \frac{\partial E}{\partial r} + \frac{1}{r} \frac{\partial^2 E}{\partial \varphi^2} \right) + \sin \varphi \left( r \frac{\partial^2 S}{\partial r^2} - \frac{\partial S}{\partial r} \right) - \frac{\cos \varphi}{r} \frac{\partial S}{\partial \varphi} \right], \\ \tau_{r\varphi} &= \frac{2\mu}{r} \left[ \frac{\partial}{\partial \varphi} \left( \frac{\partial E}{\partial r} - \frac{E}{r} \right) + r \sin \varphi \frac{\partial}{\partial \varphi} \left( \frac{\partial S}{\partial r} - \frac{S}{r} \right) \right]. \end{aligned}$$

Принимая теперь во внимание формулы (1.8) и (1.10), преобразуем (1.6) и (1.7) к виду

$$(1.11) \quad \begin{aligned} r = R_1: \quad &(2\mu + \lambda) \nabla^2 E + 2\mu \left( \sin \varphi \frac{\partial S}{\partial r} + \frac{\cos \varphi}{r} \frac{\partial S}{\partial \varphi} \right) = 0, \\ &\frac{\partial}{\partial \varphi} \left( \frac{\partial E}{\partial r} - \frac{E}{r} \right) + r \sin \varphi \frac{\partial}{\partial \varphi} \left( \frac{\partial S}{\partial r} - \frac{S}{r} \right) = 0, \\ &-\frac{1}{r} \left( \frac{\partial E}{\partial r} + \frac{1}{r} \frac{\partial^2 E}{\partial \varphi^2} \right) + \sin \varphi \left( r \frac{\partial^2 S}{\partial r^2} - \frac{\partial S}{\partial r} \right) - \frac{\cos \varphi}{r} \frac{\partial S}{\partial \varphi} = -\frac{P}{2\mu} \delta(\varphi) H(t), \\ r = R_2: \quad &\frac{\partial E}{\partial r} + \sin \varphi \left( r \frac{\partial S}{\partial r} - S \right) = 0, \quad \frac{1}{r} \frac{\partial E}{\partial \varphi} + \sin \varphi \frac{\partial S}{\partial \varphi} - S \cos \varphi = 0; \\ (1.12) \quad &(2\mu + \lambda) \frac{\partial}{\partial r} \nabla^2 E + 2\mu \left( \sin \varphi \frac{\partial^2 S}{\partial r^2} - \frac{\cos \varphi}{r^2} \frac{\partial S}{\partial \varphi} + \frac{\cos \varphi}{r} \frac{\partial^2 S}{\partial r \partial \varphi} \right) = 0, \\ &\nabla^2 E = -\frac{2\mu}{2\mu + \lambda} \left( \sin \varphi \frac{\partial S}{\partial r} + \frac{\cos \varphi}{r} \frac{\partial S}{\partial \varphi} \right) + \frac{\alpha P}{2\mu + \lambda} \quad (t = 0). \end{aligned}$$

Применим к обеим частям (1.9), (1.11) и (1.12) интегральное преобразование Лапласа — Карсона по времени

$$(1.13) \quad E = \frac{1}{2\pi i} \int_L^E \frac{E^L}{s} e^{st} ds, \quad S = \frac{1}{2\pi i} \int_L^S \frac{S^L}{s} e^{st} ds$$

и будем искать функции  $E^L(r, \varphi, s)$  и  $S^L(r, \varphi, s)$ , входящие в представления (1.13), в форме

$$(1.14) \quad \begin{aligned} E^L &= \frac{E_0^L}{2} + \sum_{n=1}^{\infty} E_n^L \cos n\varphi, \quad S^L = \sum_{n=1}^{\infty} S_n^L \sin n\varphi, \\ E_n^L(r, s) &= \frac{1}{\pi} \int_{-\pi}^{\pi} E^L \cos n\varphi d\varphi, \quad S_n^L(r, s) = \frac{1}{\pi} \int_{-\pi}^{\pi} S^L \sin n\varphi d\varphi. \end{aligned}$$

Внося соотношения (1.13), (1.14) в уравнения (1.9) и решая получающиеся при этом обыкновенные дифференциальные уравнения, найдем

$$\begin{aligned} E_n^L &= A_n r^n + B_n r^{-n} + C_n r^{\gamma_n} + D_n r^{-\gamma_n}, \\ S_n^L &= E_n r^n + F_n r^{-n}, \quad \gamma_n^2 = n^2 + s/c. \end{aligned}$$

Удовлетворяя выбором функций  $A_n(s)$ ,  $B_n(s)$ ,  $C_n(s)$ ,  $D_n(s)$ ,  $E_n(s)$  и  $F_n(s)$  граничным условиям (1.11), записанным в терминах преобразования Лапласа — Карсона, и ограничиваясь удержанием в решении членов порядка  $O(\Lambda)$  ( $\Lambda = hR_2^{-1} \ll 1$ ), характеризующих деформацию упругого скелета, с учетом того, что в тонком слое при  $t = 0$   $P = f^{-1}P\delta(\varphi)$ , имеем

$$(1.15) \quad \begin{aligned} u^L(R, \varphi, s) &= -\frac{eh}{\mu} \left( c_1 + c_2 \frac{\operatorname{th} \sqrt{ms}}{\sqrt{rs}} \right) P\delta(\varphi), \\ m &= \frac{h^2}{c}, \quad c_1 = 1 - c_2, \quad c_2 = \frac{\alpha}{f} < 1, \quad e = \frac{1 - 2\nu}{2(1 - \nu)} \end{aligned}$$

( $\nu$  — коэффициент Пуассона материала скелета).

Переходя к случаю распределенной на участке  $|\varphi| \leq \alpha$  нормальной нагрузки  $q(\varphi)$ , из равенства (1.15) найдем

$$(1.16) \quad u^L(R, \varphi, s) = -\frac{\varepsilon h}{\mu} \left( c_1 + c_2 \frac{\operatorname{th} \sqrt{ms}}{\sqrt{ris}} \right) q(\varphi) \quad (|\varphi| \leq \alpha).$$

Отсюда следует, что относительно тонкий пористый упругий кольцевой слой работает на сжатие подобно вязкоупругому основанию Фусса — Винклера с операторным коэффициентом постели, вид которого можно определить, взяв от обеих частей (1.16) обратное преобразование Лапласа — Карсона [4]. В результате

$$(1.17) \quad u(R, \varphi, t) = -\frac{\varepsilon h}{\mu} q(\varphi) \left[ c_1 + \frac{c_2}{m} \int_0^t \theta_2 \left( 0, \frac{t-\tau}{m} \right) d\tau \right],$$

$$\theta_2(x, y) = 2 \sum_{n=0}^{\infty} \exp \left[ -\pi^2 \left( n + \frac{1}{2} \right)^2 y \right] \cos \pi (2n+1) x$$

( $\theta_2(x, y)$  — тета-функция).

Решение для мгновенной нагрузки  $\tau_{rr} = -q(\varphi)\delta(t)$ , приложенной на участке  $|\varphi| \leq \alpha$  внутренней поверхности кольца, находится дифференцированием (1.17) по  $t$ :

$$(1.18) \quad \dot{u}(R, \varphi, t) = -\frac{\varepsilon h}{\mu} q(\varphi) \left[ c_1 \delta(t) + \frac{c_2}{m} \theta_2 \left( 0, \frac{t}{m} \right) \right].$$

Если в выражении (1.18)  $tm^{-1} \rightarrow \infty$ , то

$$(1.19) \quad \dot{u}(R, \varphi, t) = -\frac{\varepsilon h}{\mu} q(\varphi) \left[ c_1 \delta(t) + \frac{2c_2}{m} \exp \left( -\frac{\pi^2 t}{4m} \right) \right].$$

При  $tm^{-1} \rightarrow 0$  с учетом того, что

$$u^L(R, \varphi, s) \sim -\frac{\varepsilon h}{\mu} \left( c_1 + \frac{c_2}{\sqrt{ms}} \right) q(\varphi),$$

получим [4]

$$(1.20) \quad \dot{u}(R, \varphi, t) = -\frac{\varepsilon h}{\mu} q(\varphi) \left[ c_1 \delta(t) + \frac{c_2}{\sqrt{\pi m t}} \right].$$

Предположим, что износ втулки носит абразивный характер [5]. Тогда скорость ее изнашивания пропорциональна работе сил трения и в случае  $\tau_{rr} = -q(\varphi)$  примет вид

$$(1.21) \quad \dot{u}_*(R, \varphi, t) = -l R_2 q(\varphi) \mu^{-1}.$$

Здесь  $l$  — постоянная, характеризующая износостойкость материала кольца, условия работы пары вал — втулка и зависящая от комбинации трущихся поверхностей.

2. Зная функции  $u(R, \varphi, t)$  и  $u_*(R, \varphi, t)$  (1.18) — (1.21), изучим контактную задачу, поставленную в п. 1. Поскольку с течением времени область контакта шипа с подшипником  $2\alpha(t)$  монотонно возрастает, то существует обратная к  $\alpha = \alpha(t)$  функция  $t = \beta(\alpha)$ , а ее однозначность позволяет использовать  $\alpha(t)$  в качестве временного параметра. Применяя условие контакта (1.5) и обозначая

$$t^* = tm^{-1}, \quad \Delta^* = \Delta R_2^{-1}, \quad b = c_2 c_1^{-1}, \quad \gamma^*(t^*) = \gamma[\alpha(t)] R_2^{-1}, \quad q^*(\varphi, t^*) =$$

$$= q[\varphi, \alpha(t)] \mu^{-1}, \quad \varepsilon \Delta c_1 = a, \quad l^* = lm(ab)^{-1}, \quad N = P(\mu R_2)^{-1}$$

(звездочку ниже опустим), получим интегральное уравнение задачи относительно неизвестного контактного давления  $q(\varphi, t)$  в форме

$$(2.1) \quad a \left[ q(\varphi, t) + b \int_0^t q(\varphi, \tau) k(t-\tau) d\tau \right] = [\Delta + \gamma(t)] \cos \varphi - \Delta \quad (0 \leq \varphi \leq \alpha(t)),$$

$$0 \leq t \leq T < \infty,$$

где ядро  $k(t-\tau)$  дается одной из формул

$$(2.2) \quad k(t) = l = \theta_2(0, t), \quad 2 \exp(-\pi^2 t/4), \quad (\pi t)^{-1/2}$$

соответственно для вариантов (1.18) — (1.20). К уравнению (2.1), (2.2) необходимо еще добавить условие квазистатики

$$(2.3) \quad N = 2 \int_0^{\alpha(t)} q(\varphi, t) \cos \varphi d\varphi,$$

а также равенство

$$(2.4) \quad q(\varphi, t) = 0 \quad (\varphi \geq \alpha),$$

служащее для определения неизвестной зоны контакта вала и втулки.

Заметим, что соотношение (2.4) позволяет переписать интегральное уравнение (2.1) в виде системы

$$(2.5) \quad a \left[ q(\varphi, t) + b \int_{\psi(\varphi)}^t q(\varphi, \tau) k(t - \tau) d\tau \right] = [\Delta + \gamma(t)] \cos \varphi - \Delta$$

$$(\psi(\varphi) \leq t \leq T < \infty),$$

$$\psi(\varphi) = \begin{cases} 0 & (0 \leq \varphi \leq \alpha_0), \\ \beta(\varphi) & (\alpha_0 < \varphi \leq \alpha), \end{cases} \quad \alpha_0 = \alpha(0),$$

для решения которой воспользуемся алгоритмом, изложенным в [6, 7].

Из (2.5) при помощи (2.4) найдем

$$(2.6) \quad \gamma(t) = \Delta [1 - \cos \alpha(t)] \cos^{-1} \alpha(t).$$

Умножим обе части (2.1) на  $\cos \varphi$  и проинтегрируем в пределах от 0 до  $\alpha(t)$ . Принимая во внимание формулы (2.2), (2.3), (2.6) и изменения порядок интегрирования, что справедливо [8] в случае монотонно возрастающей области контакта, имеем

$$(2.7) \quad \frac{\Delta}{abN} \frac{\alpha - (1/2) \sin 2\alpha}{\cos \alpha} - \frac{1}{b} - lt =$$

$$= \begin{cases} 1 - \frac{2}{\pi^2} \sum_{n=0}^{\infty} \frac{e^{-\pi^2(n+1/2)^2 i}}{(n+1/2)^2}, \\ 2 \sqrt{\frac{t}{\pi}} \quad (t \rightarrow 0), \\ \frac{8}{\pi^2} (1 - e^{-\pi^2 t/4}) \quad (t \rightarrow \infty). \end{cases}$$

Последние выражения представляют собой трансцендентные уравнения для определения угла контакта шипа и подшипника соответственно при  $0 \leq t \leq T < \infty$ ,  $T_1 \leq t \leq T$  и  $0 \leq t \leq T_0$ . В частности, из (2.7) следует, что при достаточно большом времени  $\alpha(t) \rightarrow \pi/2$ .

Решение системы интегральных уравнений (2.5) при  $T_1 \leq t \leq T$  можно получить методом [6, 7]:

$$(2.8) \quad q(\varphi, t) = \frac{\Delta}{a} \left[ \frac{\cos \varphi - \cos \alpha(t)}{\cos \alpha(t)} + \frac{1}{p_1 - p_2} \sum_{n=1}^2 (-1)^n p_n \times \right.$$

$$\times \left. \left( p_n - \frac{\pi^2}{4} \right) \int_0^t \frac{\cos \varphi - \cos \alpha(\tau)}{\cos \alpha(\tau)} e^{-p_n(t-\tau)} d\tau \right] \quad (0 \leq \varphi \leq \alpha_0),$$

$$q(\varphi, t) = \frac{\Delta}{a(p_1 - p_2)} \sum_{n=1}^2 (-1)^n p_n \left( p_n - \frac{\pi^2}{4} \right) \times$$

$$\times \int_{\beta(\varphi)}^{\alpha} \frac{\cos \varphi - \cos \alpha(\tau)}{\cos \alpha(\tau)} e^{-p_n(t-\tau)} d\tau \quad (\alpha_0 < \varphi \leq \alpha(t)),$$

$$p_{1,2} = \frac{1}{2} \left[ l + 2b + \frac{\pi^2}{4} \mp \sqrt{\left( l + 2b + \frac{\pi^2}{4} \right)^2 - l\pi^2} \right],$$

причем функция  $\beta(\varphi)$ , входящая в формулы (2.8), удовлетворяет уравнению

$$(2.9) \quad \Phi - \frac{1}{b} - l\beta = \frac{8}{\pi^2} (1 - e^{-\pi^2 \beta/4}), \quad \Phi(\varphi) = \frac{\Delta}{abN} \frac{\varphi - (1/2) \sin 2\varphi}{\cos \varphi} \quad (\alpha_0 < \varphi \leq \alpha).$$

При  $0 \leq t \leq T_0$  решение системы (2.5) можно построить с помощью интегрального преобразования Лапласа — Карсона по времени. Опуская математические выкладки, запишем

$$(2.10) \quad q(\varphi, t) = \frac{\Delta}{a} \left[ \frac{\cos \varphi - \cos \alpha(t)}{\cos \alpha(t)} - \frac{1}{s_1 - s_2} \sum_{n=1}^2 (-1)^n \times \right.$$

$t$	$\alpha(t)$				$t$	$\alpha(t)$		
0	0,998	0,998	0,998	0,998	0,8	1,458	1,171	1,135
0,05	1,053	1,053	1,021	0,9	1,162	1,179	1,139	
0,1	1,073	1,073	1,039	1	1,165	1,186	1,143	
0,2	1,098	1,099	1,067	2	1,182	1,234	1,163	
0,3	1,116	1,117	1,088	3	1,193	1,265	1,174	
0,4	1,129	1,131	1,102	4	1,202	1,288	1,184	
0,5	1,139	1,143	1,113	5	1,211	1,306	1,194	
0,6	1,147	1,154	1,122	10	1,249	1,361	1,233	
0,7	1,153	1,163	1,129	$\infty$	1,571	1,571	1,571	

$$\times s_n^2 \int_0^t \frac{\cos \varphi - \cos \alpha(\tau)}{\cos \alpha(\tau)} \left[ s_n e^{s_n^2(t-\tau)} \operatorname{erfc}(s_n \sqrt{t-\tau}) - \frac{1}{\sqrt{\pi(t-\tau)}} \right] d\tau \} \quad (0 \leq \varphi \leq \alpha_0),$$

$$q(\varphi, t) = -\frac{\Delta}{a(s_1 - s_2)} \sum_{n=1}^2 (-1)^n s_n^2 \int_{\beta(\varphi)}^t \frac{\cos \varphi - \cos \alpha(\tau)}{\cos \alpha(\tau)} \times$$

$$\times \left[ s_n e^{s_n^2(t-\tau)} \operatorname{erfc}(s_n \sqrt{t-\tau}) - \frac{1}{\sqrt{\pi(t-\tau)}} \right] d\tau \quad (\alpha_0 < \varphi \leq \alpha(t)),$$

$$s_{1,2} = \frac{b}{2} \mp \sqrt{\frac{b^2}{4} - lb}, \quad \beta(\varphi) = \frac{\pi(\Phi - 1/b)^2}{[1 + \sqrt{1 + \pi l(\Phi - 1/b)}]^2}.$$

Здесь  $\operatorname{erfc}(x) = 1 - \operatorname{erf}(x)$ ;  $\operatorname{erf}(x)$  — интеграл вероятности.

Таким образом, формулы (2.6)–(2.10) дают решение поставленной задачи об износе подшипника скольжения с пористым вкладышем при  $T_1 \leq t \leq T$  и  $0 \leq t \leq T_0$ . Выясним вопрос, стыкуются ли между собой полученные формулы малого и большого времени, т. е. выполняется ли условие  $T_1 \leq T_0$ ?

Положим в соотношениях (2.7), например,  $\Delta(aN)^{-1} = 1$ ,  $b = 1$ ,  $l = 0,1$ . В таблице приведены значения  $\alpha(t)$ , найденные из уравнений (2.7) ( $t \rightarrow 0$  — 2-я колонка,  $t \rightarrow \infty$  — 3-я колонка) при различных значениях  $0 \leq t < \infty$ . Видно, что асимптотика малого времени работает практически до  $t = T_0 = 1$  (погрешность этого решения по сравнению с точным, приведенным в 1-й колонке, при  $t = T_0$  не превосходит 1,8 %). В то же время асимптотическим решением при  $t \rightarrow \infty$  можно пользоваться, когда  $t = T_1 \geq 0,8$  (максимальная ошибка результатов составляет не более 2 %).

## ЛИТЕРАТУРА

1. Коваленко Е. В. К расчету изнашивания сопряжения вал — втулка // Изв. АН СССР. МТТ. — 1982. — № 6.
2. Biot M. A. Mechanics of deformation and acoustic propagation in porous media // J. Appl. Phys. — 1962. — V. 33, N 4.
3. Biot M. A., Willis D. G. The elastic coefficients of the theory of consolidation // J. Appl. Mech. — 1957. — V. 24, N 4.
4. Диткин В. А., Прудников А. П. Справочник по операционному исчислению. — М.: Высш. шк., 1965.
5. Крагельский И. В., Добычин М. Н., Комбалов В. С. Основы расчетов на трение и износ. — М.: Машиностроение, 1977.
6. Александров В. М., Коваленко Е. В. Аналитическое решение контактной задачи об изнашивании сопряжения вал — втулка // Тренинг и износ. — 1987. — Т. 8, № 6.
7. Александров В. М., Коваленко Е. В., Фурин В. В. Контактная задача теории ползучести для стареющего слоя // Изв. АН СССР. МТТ. — 1989. — № 3.
8. Белонон А. В., Ворович И. И. Контактные задачи линейной теории вязкоупругости без учета сил трения и сцепления // Изв. АН СССР. МТТ. — 1973. — № 6.

2. Москва

Поступила 8/I 1990 г.,  
в окончательном варианте — 10/V 1990 г.